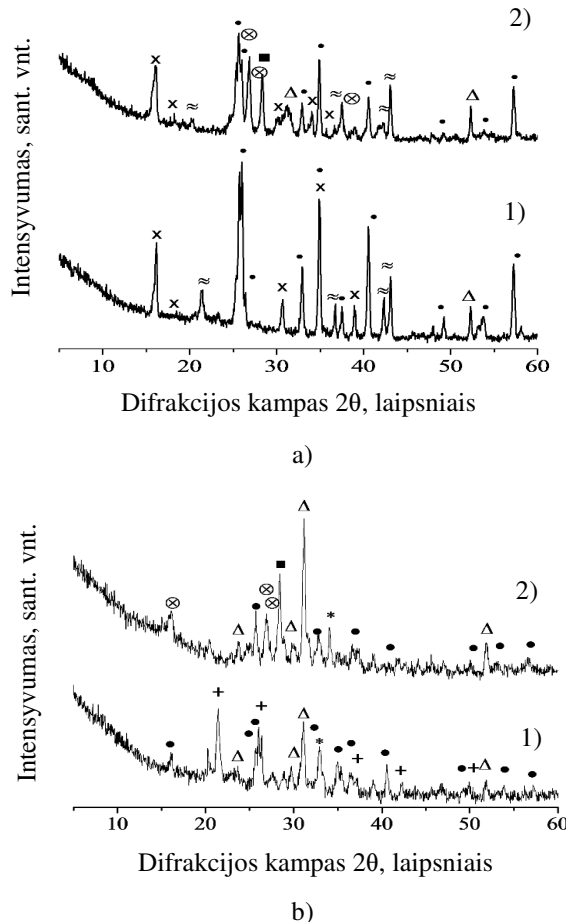


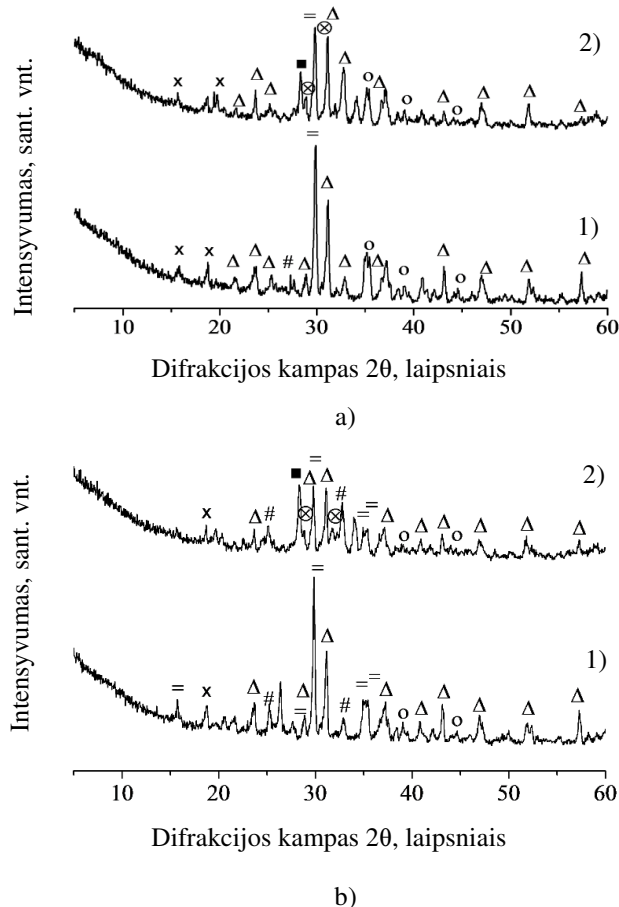
**A priedas.** Komercinių ugniai atsparių medžiagų, prieš ir po bandymų su  $K_2CO_3$  tabletės metodu po degimo  $1100\text{ }^{\circ}\text{C}$  temperatūroje, rentgenogramos



**A1. pav.** Komercinių ugniai atsparių medžiagų, prieš (1) ir po bandymų su  $K_2CO_3$  tabletės metodu (2) po degimo  $1100\text{ }^{\circ}\text{C}$  temperatūroje, rentgenogramos: a – ŠP; b – ŠB; x – anorthitas; ● – mulitas; ≈ – kristobalitas; Δ – gelenitas; + – kvarcas; \* – gematitas; ■ – lauko špatai; ⊗ – leucitas

**Fig. A1.** The X-ray diffraction patterns of commercial refractory materials under the investigation before (1) and after the tests with  $K_2CO_3$  (2) upon applying with the tablet method after firing at the temperature of  $1100\text{ }^{\circ}\text{C}$ : a – ŠP; b – ŠB; x – anorthite; ● – mullite; ≈ – cristobalite; Δ – gehlenite; + – quartz; \* – hematite; ■ – feldspar; ⊗ – leucite

**B priedas.** Tiriamojo ugniai atsparaus betono, prieš ir po bandymų su  $K_2CO_3$  tabletės metodu po degimo 1100 °C temperatūroje, rentgenogramos



**1B pav.** Tiriamojo ugniai atsparaus betono, prieš (1) ir po bandymų su  $K_2CO_3$  tabletės metodu (2) po degimo 1100 °C temperatūroje, rentgenogramos: a – B4; b – B6; x – anortitas;  $\Delta$  – gelenitas; # –  $CA_2$ ; = – CA; o – korundas; ■ – lauko špatai;  $\otimes$  – leucitas

**Fig. 1B.** The X-ray diffraction patterns of the refractory castable under the investigation before (1) and after the tests with  $K_2CO_3$  (2) upon applying with the tablet method after firing at the temperature of 1100 °C: a – B4; b – B6; x – anorthite;  $\Delta$  – gehlenite; # –  $CA_2$ ; = – CA; o – corundum; ■ – feldspar;  $\otimes$  – leucite